

九州大学工学部 正員 粟谷陽一
九州工業大学 正員 ○藤崎一裕

1. まえがき

沈降性粒子を含む噴流が、静水中に鉛直下方に放出される現象を検討した。この場合、噴流は噴出直後では運動量の影響が強く、通常の jet に近い挙動をするが、中心軸上の流速が低下するにつれて、重力 plume 的な挙動へと移行していく。本報は、これらの現象に及ぼす粒子濃度や、流体と粒子との相対速度の影響を調べたものである。解析にあたりては、噴流中の乱れに関する混合距離の理論を用い、流速や濃度の分布には相似形を仮定した。

2 基礎式

図1のように鉛直下方へx軸、水平方向にy軸を取り、それぞれの方向の流速をu, v, 粒子の沈降速度をw, 粒子濃度をσで表すと、この場合の基礎式は

$$\frac{\partial u}{\partial x} + \frac{\partial v}{\partial y} = 0 \quad \dots \dots \dots (1)$$

$$u \frac{\partial u}{\partial x} + v \frac{\partial u}{\partial y} = \frac{\partial}{\partial y} \left(l^2 \frac{\partial u}{\partial y} \right) + \sigma g \quad \dots \dots \dots (2)$$

$$(u+w) \frac{\partial \sigma}{\partial x} + v \frac{\partial \sigma}{\partial y} = \frac{\partial}{\partial y} \left(l^2 \frac{\partial \sigma}{\partial y} \right) \quad \dots \dots \dots (3)$$

となる。l は混合距離である。

流速分布および粒子濃度分布に正規分布形を仮定し混合距離 l は噴流幅に比例するとすれば、以下の式がえられる

$$u = U_0(x) \exp \left\{ -y^2/b(x)^2 \right\} \quad \dots \dots \dots (4)$$

$$\sigma = \sigma_0(x) \exp \left\{ -y^2/a(x)^2 \right\} \quad \dots \dots \dots (5)$$

$$l = \varepsilon \cdot b(x) \quad \dots \dots \dots (6)$$

a, b はそれぞれ粒子および運動量のひろがりの半幅に対応し、U₀, σ₀ は軸上の値を意味する

(4), (5), (6) 式と (2), (3) 式に代入し、(2), (3) 式の両辺に y⁰, y¹ とかけて、y に関して 0 ~ ∞ まで積分して以下の4つの式がえられる。

$$\int_0^\infty u b \frac{du}{dx} + \frac{1}{12} U_0^2 \frac{db}{dx} = a \sigma_0 g \quad \dots \dots \dots (7)$$

$$\begin{aligned} & \frac{ab}{a^2+b^2} \sigma_0 \frac{du}{dx} + \frac{a^3 u_0 \sigma_0}{(a^2+b^2)^3} \frac{db}{dx} \\ & + \left\{ w + \frac{b^3 u_0}{(a^2+b^2)^3} \right\} \sigma_0 \frac{da}{dx} \\ & + \left\{ w + \frac{b u_0}{a^2+b^2} \right\} a \frac{d\sigma}{dx} = 0 \end{aligned} \quad \dots \dots \dots (8)$$

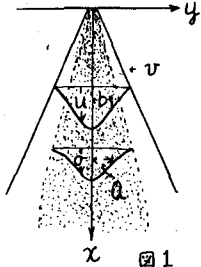


図1

$$(\pi+4)b U_0^2 \frac{db}{dx} = 2\sqrt{2\pi} \cdot \varepsilon^2 b U_0^2 + 4a^2 \sigma_0 g \quad \dots \dots \dots (9)$$

$$\begin{aligned} & \left\{ \tan^{-1} \frac{a}{b} + \frac{ab}{a^2+b^2} \right\} \sigma_0 b \frac{du}{dx} + \left\{ \tan^{-1} \frac{a}{b} - \frac{ab}{a^2+b^2} + \frac{2a^3 b}{(a^2+b^2)^2} \right\} \times \\ & \sigma_0 u \frac{db}{dx} + 2 \left\{ w + u \frac{b^4}{(a^2+b^2)^3} \right\} \sigma_0 \frac{da}{dx} + \left\{ w + \frac{b^2}{a^2+b^2} u \right\} a \frac{d\sigma}{dx} \\ & = 2\sqrt{2\pi} \varepsilon^2 \frac{b^3}{(a^2+b^2)^{3/2}} U_0 \sigma_0 \end{aligned} \quad \dots \dots \dots (10)$$

上式を無次元化して整理すると

$$\sqrt{2} U_0 B \frac{du}{dx} + \frac{U_0^2}{12} \frac{dB}{dx} = AS \quad \dots \dots \dots (11)$$

$$\begin{aligned} & \frac{\lambda}{1+\lambda^2} BS \frac{du}{dx} + \frac{\lambda^3}{(1+\lambda^2)^{3/2}} US \frac{dB}{dx} + \left\{ 1 + \frac{U_0}{(1+\lambda^2)^{1/2}} \right\} S \frac{dS}{dx} \\ & + \left\{ 1 + \frac{U_0}{(1+\lambda^2)^{1/2}} \right\} A \frac{dA}{dx} = 0 \end{aligned} \quad \dots \dots \dots (12)$$

$$(\pi+4)U_0 B^2 \frac{du}{dx} + (\pi+2)BU_0^2 \frac{dB}{dx} = 2\sqrt{2\pi} BU_0^2 + 4AS \quad \dots \dots \dots (13)$$

$$\left(\tan^{-1} \lambda + \frac{\lambda}{1+\lambda^2} \right) SB \frac{du}{dx} + \left\{ \tan^{-1} \lambda + \frac{\lambda(\lambda^2-1)}{(1+\lambda^2)^2} \right\} SU \frac{dB}{dx}$$

$$+ \left\{ 1 + \frac{U_0}{(1+\lambda^2)^{1/2}} \right\} S \frac{dA}{dx} + \left\{ 1 + \frac{U_0}{(1+\lambda^2)^{1/2}} \right\} A \frac{dS}{dx} = 2\sqrt{2\pi} \frac{US}{(1+\lambda^2)^{3/2}} \quad \dots \dots \dots (14)$$

となる。ただし、 $\lambda = A/B$, $\dots \dots \dots (15)$

$$U_0 = U_0/w, X = x/L_0, B = b/(\varepsilon^2 L_0), \dots \dots \dots (16)$$

$$A = a/(\varepsilon^2 L_0), S = \sigma_0 g L_0 / w^2 \quad \dots \dots \dots (16)$$

$$L_0 = m_0 / (gg)^{1/2} \quad \dots \dots \dots (17)$$

$$m_0 = 2 \int_0^\infty u^2 dy \quad \text{at } x=0$$

$$g = \sqrt{\pi} a \sigma_0 \left\{ w + b U_0 / \sqrt{a^2 + b^2} \right\}$$

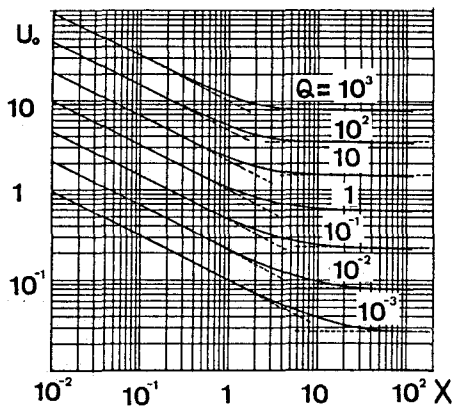


図2

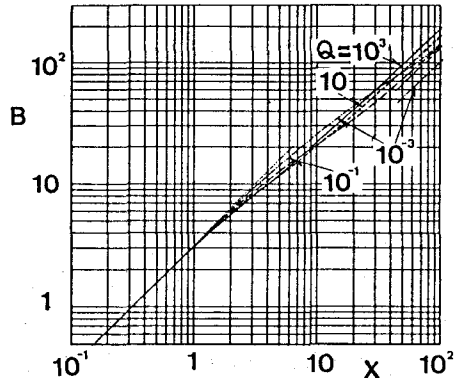


図3

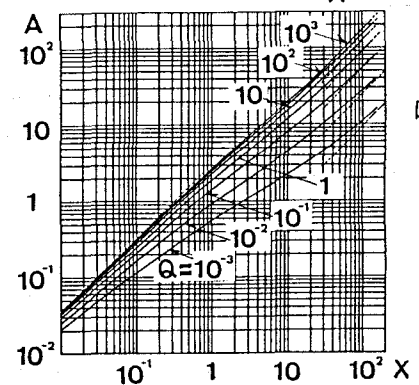


図4

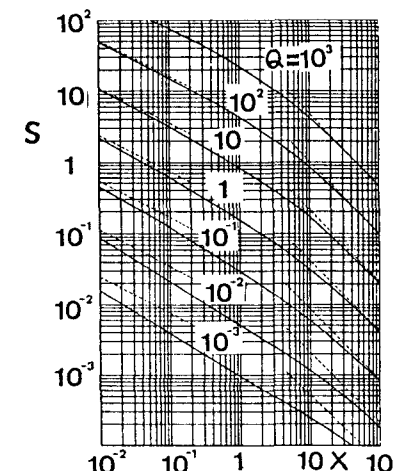


図5

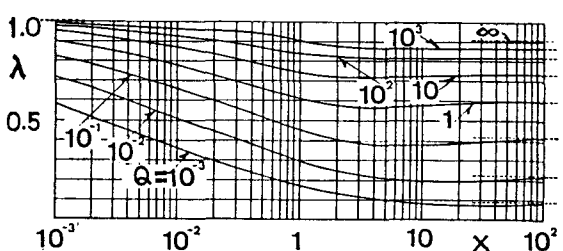


図6

である。また、(12)式を積分すと次式となる。

$$Q = \pi AS \left\{ 1 + BU_0 / \sqrt{B^2 + A^2} \right\} \quad \dots \dots \dots (18)$$

Qは噴出粒子フラックスの無次元表示である。

3. 計算結果と考察

図2～6に、Qをパラメータとしたときの、XとU₀、B、A、S、入との関係を示す。図中の破線は、(11)～(14)式から導かれたjetと重力plumeの解で、それぞれ以下の式で与えられる。

i) jetの場合 (X→0)

$$U_0 = 1.018 Q^{2/3} X^{-1/2} \quad \dots \dots \dots (19.1), \quad S = 0.2457 Q^{2/3} X^{-1/2} \quad \dots \dots \dots (19.2)$$

$$B = A = 3.192 X \quad \dots \dots \dots (19.3) \quad (\lambda = 1)$$

ii) plumeの場合 (X→∞)

$$U_0 = A \left\{ \tan^{-1} \lambda - (\pi + 2 - 2\sqrt{2}\lambda) / (\sqrt{2} \cdot (1+\lambda^2)^{1/2}) \right\} \quad \dots \dots \dots (20.1)$$

$$2\pi U_0^2 / (\pi + 2 - 2\sqrt{2}\lambda) \times (1+U_0/\sqrt{1+\lambda^2}) = Q \quad \dots \dots \dots (20.2)$$

$$S = U_0^2 / (\sqrt{2}\lambda) \cdot X^{-1} \quad \dots \dots \dots (20.3), \quad B = 2\sqrt{2}\pi / (\pi + 2 - 2\sqrt{2}\lambda) X \quad \dots \dots \dots (20.4)$$

(U₀、入は (20.1)、(20.2) 式を連立させて求めよ)

これらの図から、それぞれの物理量が、jet的な挙動から plume的な挙動へ移行していく様子を知ることができる。

また、Xに対するU₀やSの変動は比較的似た傾向を有していること、Bの増大の様子はQの影響を受けにくことが少なく、逆に、Aの増大の傾向はQの値により異なることなどがわかる。

本報で対象とした現象と類似の現象は $w=0$

($Q \rightarrow \infty$) の場合について、入：一定として検討された例¹⁾があるが、入はQやXの値に応じて変化することがわかる。(図6)

参考文献

1) 北野、田中、篠谷：土木論文集、第25号、pp. 37-47、1976

2) S. L. Lee, H. W. Emmons : JFM, vol. 11, pp. 353-368, 1961